

ФОРМАЛИЗМ БЕЗМОДЕЛЬНОГО РЕШЕНИЯ ЗАДАЧИ РАССЕЯНИЯ В СИСТЕМЕ ТРЕХ ЧАСТИЦ С КУЛОНОВСКИМ ВЗАИМОДЕЙСТВИЕМ. НАДПОРОГОВЫЕ ОСЦИЛЛЯЦИИ СЕЧЕНИЙ РАССЕЯНИЯ И РЕАКЦИЙ В СИСТЕМЕ $e^-e^+\bar{p}$

*В. А. Градусов**, *С. Л. Яковлев***

*Санкт-Петербургский государственный университет
199034, Санкт-Петербург, Россия*

Поступила в редакцию 21 октября 2024 г.,
после переработки 27 декабря 2024 г.
Принята к публикации 31 декабря 2024 г.

Представлен безмодельный формализм для решения задачи рассеяния в системе трех частиц с кулоновским взаимодействием для энергий ниже порога развала системы на три частицы на основе уравнений Фаддеева–Меркурьева. Для решения задачи рассеяния используются асимптотические граничные условия, которые наряду с кулоновским взаимодействием между мишенью и зрителем в явном виде учитывают дальнедействующее дипольное взаимодействие, ответственное за аномальное надпороговое поведение сечений рассеяния и реакций (осцилляции Гайлитиса–Дамбурга). На основе эффективного численного метода прямого решения граничной задачи для уравнений Фаддеева–Меркурьева получены высокоточные сечения рассеяния антипротона на позитронии и сечения образования антиводорода в системе $e^-e^+\bar{p}$ для ненулевых значений полного орбитального момента системы, подтверждающие наличие аномального порогового поведения сечений.

DOI: 10.31857/S0044451025050013

1. ВВЕДЕНИЕ

Задача рассеяния заряженной частицы на связанном кулоновскими силами состоянии пары частиц привлекает к себе внимание исследователей в течение долгих лет. Структура сечений рассеяния и реакций в такой задаче обладает значительным богатством особенностей, таких как подпороговые резонансы Фано–Фешбаха, дифракционные минимумы Рамзауэра–Таунсенда, надпороговые осцилляции Гайлитиса–Дамбурга [1]. При этом в связи со значительными трудностями экспериментального исследования на первый план выходят теоретические методы решения задачи рассеяния, позволяющие получать результаты с гарантированной точностью. Традиционно рассматриваемая задача решается методом сильной связи каналов в сочетании с вычислительным методом R -матрицы [2]. Естественные ограничения, обусловленные бесконечным

количеством кулоновских связанных состояний, а также необходимостью учета непрерывного спектра парных подсистем, не позволяют считать данный подход полностью безмодельным. Альтернативным и при этом безмодельным методом решения задачи рассеяния является формализм уравнений Фаддеева–Меркурьева (ФМ), включающий расщепление дальнедействующих потенциалов [3].

Рассматриваемая задача имеет приложения в различных областях атомно-молекулярной физики, среди которых выделим физику антивещества и позитронии [4, 5]. В частности, в ЦЕРН проводятся эксперименты по изучению гравитационного поведения антивещества AEgIS и GBAR [6, 7], использующие установку замедления антипротонов. В них для получения частиц антивещества используется среди прочего трехчастичная реакция



образования антиводорода \bar{H} в процессе рассеяния антипротона \bar{p} на газе ридберговского позитронии (Ps). Экспериментальные данные по рассеянию в системе $e^-e^+\bar{p}$ (и зарядово эквивалентной системе

* E-mail: v.gradusov@spbu.ru

** E-mail: s.yakovlev@spbu.ru

e^-e^+p) крайне немногочисленны и ограничиваются полными сечениями процессов образования атомов и ионизации, суммированными по начальным и конечным состояниям атомов [8, 9]. В частности, данные по реакции (1), насколько известно авторам настоящей статьи, ограничиваются тремя точками на кривой полного сечения образования водорода при рассеянии протона p на позитронии Ps в основном состоянии при энергиях порядка 10 кэВ [8]. Этот недостаток экспериментальных данных вызвал появление ряда теоретических работ, в которых обсуждался механизм увеличения выхода реакций образования атома антиводорода [10]. Например, авторы [11–13] обсуждали рост сечений образования антиводорода в реакции (1), происходящий над порогом высоковозбужденных состояний позитрония. В работе [14] рассматривались надпороговые осцилляции сечений в системе $e^-e^+\bar{p}$, предсказанные в модельных исследованиях работ [15, 16]. На базе формализма уравнений ФМ также выполнен ряд попыток [1, 17, 18] расчета надпороговых осцилляций. Во всех этих исследованиях ключевым недостатком оказался неполный учет дипольного взаимодействия между связанной парой частиц и третьей частицей, не позволивший получить надежные результаты для сечений в близкой надпороговой области энергий. Лишь в работе авторов [19] удалось получить надежные результаты для осцилляций сечений Гайлитиса – Дамбурга (ГД) в системе $e^-e^+\bar{p}$ при нулевом орбитальном моменте с помощью решения уравнений ФМ с граничными условиями, дополненными явным вкладом дипольного взаимодействия. В настоящей работе мы распространяем формализм уравнений ФМ с граничными условиями, явно учитывающими дипольное взаимодействие, на случай ненулевых орбитальных моментов и применяем его к расчету сечений рассеяния и реакций в системе $e^-e^+\bar{p}$.

Работа организована следующим образом. В разд. 2 дается весь необходимый теоретический материал формализма уравнений ФМ, включая асимптотические граничные условия, дополненные явным вкладом дипольного взаимодействия. В разд. 2 приводятся результаты расчетов сечений рассеяния и реакций в системе $e^-e^+\bar{p}$ для ненулевых значений полного орбитального момента. В разд. 3 обсуждаются полученные результаты. Заключение подводит итог проделанной работе. В Приложения вынесены некоторые технические детали, не вошедшие в теоретический разд. 2.

На протяжении всей работы мы пользуемся атомной системой единиц. Векторы обозначаются

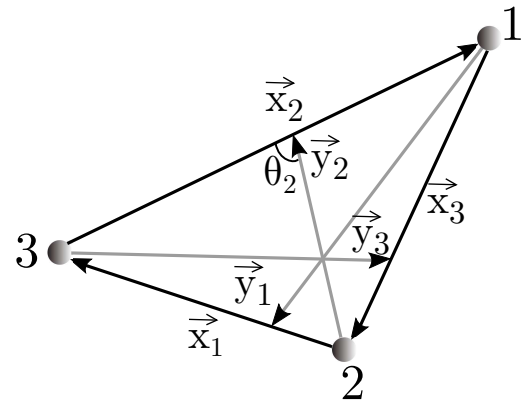


Рис. 1. Координаты Якоби для системы трех частиц

жирным шрифтом, например, \mathbf{x} . Через x обозначается модуль вектора $\mathbf{x} = |\mathbf{x}|$, а $\hat{\mathbf{x}} = \mathbf{x}/x$ используется для обозначения единичного вектора по направлению \mathbf{x} .

2. ТЕОРИЯ

2.1. Уравнения Фаддеева – Меркурьева

Рассматривается система трех бесспиновых нерелятивистских заряженных частиц с массами m_α и зарядами Z_α , $\alpha = 1, 2, 3$. В дальнейшем набор индексов $\{\alpha, \beta, \gamma\}$ обозначает одну из перестановок множества $\{1, 2, 3\}$, нумерующую частицы. Парой α мы называем пару частиц $\beta\gamma$, дополнительных к частице α . В системе центра масс положения частиц описываются координатами Якоби. Стандартные координаты Якоби (рис. 1) определяются для разбиения $\alpha(\beta\gamma)$ как векторы относительного положения между частицами пары α , и между их центром масс и частицей α . Удобнее использовать приведенные координаты Якоби $\mathbf{x}_\alpha, \mathbf{y}_\alpha$, которые являются векторами Якоби, масштабируемыми множителями $\sqrt{2\mu_\alpha}$ и $\sqrt{2\mu_{\alpha(\beta\gamma)}}$ соответственно. Приведенные массы даются выражениями

$$\mu_\alpha = \frac{m_\beta m_\gamma}{m_\beta + m_\gamma}, \quad \mu_{\alpha(\beta\gamma)} = \frac{m_\alpha(m_\beta + m_\gamma)}{m_\alpha + m_\beta + m_\gamma}. \quad (2)$$

Для разных значений α приведенные векторы Якоби связаны ортогональным преобразованием:

$$\mathbf{x}_\beta = c_{\beta\alpha}\mathbf{x}_\alpha + s_{\beta\alpha}\mathbf{y}_\alpha, \quad \mathbf{y}_\beta = -s_{\beta\alpha}\mathbf{x}_\alpha + c_{\beta\alpha}\mathbf{y}_\alpha, \quad (3)$$

где

$$c_{\beta\alpha} = - \left[\frac{m_\beta m_\alpha}{(M - m_\beta)(M - m_\alpha)} \right]^{1/2},$$

$$s_{\beta\alpha} = (-1)^{\beta-\alpha} \text{sgn}(\beta - \alpha) (1 - c_{\beta\alpha}^2)^{1/2}$$

и $M = \sum_{\alpha} m_{\alpha}$. В дальнейшем, где это необходимо, предполагается, что векторы Якоби с индексом β выражены через векторы α посредством (3).

В приведенных координатах Якоби уравнения ФМ для трех заряженных частиц [3] имеют вид

$$\begin{aligned} \{T_{\alpha} + V_{\alpha}(x_{\alpha}) + \sum_{\beta \neq \alpha} V_{\beta}^{(l)}(x_{\beta}, y_{\beta}) - E\} \psi_{\alpha}(\mathbf{x}_{\alpha}, \mathbf{y}_{\alpha}) = \\ = -V_{\alpha}^{(s)}(x_{\alpha}, y_{\alpha}) \sum_{\beta \neq \alpha} \psi_{\beta}(\mathbf{x}_{\beta}, \mathbf{y}_{\beta}). \end{aligned} \quad (4)$$

Здесь $T_{\alpha} \equiv -\Delta_{\mathbf{x}_{\alpha}} - \Delta_{\mathbf{y}_{\alpha}}$ — операторы кинетической энергии. Потенциалы V_{α} представляют собой парные кулоновские взаимодействия:

$$V_{\alpha}(x_{\alpha}) = \sqrt{2\mu_{\alpha}} Z_{\beta} Z_{\gamma} / x_{\alpha}, \quad \beta, \gamma \neq \alpha.$$

В данной работе мы предполагаем нумерацию частиц такой, что выполняются неравенства $Z_1 Z_2 > 0$, $Z_1 Z_3 < 0$ и $Z_2 Z_3 < 0$, таким образом потенциал V_3 является отталкивательным. Потенциалы V_{α} расщепляются на короткодействующую $V_{\alpha}^{(s)}$ и далекодействующую $V_{\alpha}^{(l)}$ части:

$$V_{\alpha}(x_{\alpha}) = V_{\alpha}^{(s)}(x_{\alpha}, y_{\alpha}) + V_{\alpha}^{(l)}(x_{\alpha}, y_{\alpha}). \quad (5)$$

Уравнения (4) можно просуммировать, что приводит к уравнению Шредингера для волновой функции $\Psi = \sum_{\alpha} \psi_{\alpha}$, где ψ_{α} — компоненты волновой функции, заданные решением уравнений (4).

Расщепление потенциала (5) выполняется при помощи функции χ_{α} , называемой срезкой Меркурьева [3]:

$$V_{\alpha}^{(s)}(x_{\alpha}, y_{\alpha}) = \chi_{\alpha}(x_{\alpha}, y_{\alpha}) V_{\alpha}(x_{\alpha}). \quad (6)$$

Эта функция ограничивает короткодействующую часть потенциала областями в трехчастичном конфигурационном пространстве, соответствующими точке трехчастичного столкновения и парной конфигурации ($x_{\alpha} \ll y_{\alpha}$, когда $y_{\alpha} \rightarrow \infty$). Вид функции срезки достаточно произволен и ограничен только некоторыми общими требованиями [20]. В одном из наиболее часто используемых вариантов, предложенном в [21], функция имеет вид

$$\chi_{\alpha}(x_{\alpha}, y_{\alpha}) = \frac{2}{1 + \exp[(x_{\alpha}/x_{0\alpha})^{\nu_{\alpha}} / (1 + y_{\alpha}/y_{0\alpha})]} \quad (7)$$

с $\nu_{\alpha} > 2$. Параметры $x_{0\alpha}$ и $y_{0\alpha}$ в принципе могут быть выбраны произвольно, но их выбор меняет свойства компонент ψ_{α} , важные как с теоретической, так и с вычислительной точки зре-

ния [22]. Процедура расщепления (5), (7) выполняется в трехчастичном конфигурационном пространстве и подходит для энергий как ниже, так и выше порога трехчастичного развала. В работах [1, 23] мы предложили использовать упрощенную версию функции (7) в двухчастичном конфигурационном пространстве пары α . Формально она получается переходом к пределу $y_{0\alpha} \rightarrow \infty$ и выбором $\nu_{\alpha} = 2.01$, что приводит к следующему виду функции:

$$\chi_{\alpha}(x_{\alpha}) = 2 / \{1 + \exp[(x_{\alpha}/x_{0\alpha})^{2.01}]\}. \quad (8)$$

При использовании функции (8) короткодействующая и далекодействующая части потенциала $V_{\alpha}^{(s,l)}$ также становятся функциями в двухчастичном конфигурационном пространстве: $V_{\alpha}^{(s,l)} = V_{\alpha}^{(s,l)}(x_{\alpha})$. Единственный оставшийся параметр $x_{0\alpha}$ можно эффективно выбрать с помощью простого практического алгоритма, представленного в [1].

Процедура расщепления делает свойства уравнений ФМ для кулоновских потенциалов так же подходящими для задач рассеяния, как стандартные уравнения Фаддеева в случае короткодействующих потенциалов [24]. Ключевым свойством уравнений ФМ (4) является то, что правая часть каждого уравнения ограничена окрестностью точки тройного столкновения [22]. Это приводит к асимптотическому расщеплению системы уравнений ФМ и, следовательно, асимптотика каждой компоненты ψ_{α} для энергий ниже порога трехчастичного развала (ионизации) содержит только члены, соответствующие парной конфигурации с парой частиц α [22, 24]. При полной энергии системы E ниже порога развала старшие члены асимптотики компоненты волновой функции, которые и определяют решение задачи рассеяния, записываются как

$$\begin{aligned} \psi_{\alpha}(\mathbf{x}_{\alpha}, \mathbf{y}_{\alpha}) = \psi_{\alpha}^{(\mathbb{A}_0)}(\mathbf{x}_{\alpha}, \mathbf{y}_{\alpha}) \sim \\ \sim I^{(\mathbb{A}_0)}(\mathbf{x}_{\alpha}, \mathbf{y}_{\alpha}) \delta_{\alpha\alpha_0} + O_{\alpha}^{(\mathbb{A}_0)}(\mathbf{x}_{\alpha}, \mathbf{y}_{\alpha}), \end{aligned} \quad (9)$$

где рассеянная волна имеет вид

$$\begin{aligned} O_{\alpha}^{(\mathbb{A}_0)}(\mathbf{x}_{\alpha}, \mathbf{y}_{\alpha}) = \sum_{nlm} \frac{\phi_{nl}(x_{\alpha})}{x_{\alpha}} Y_{lm}(\hat{\mathbf{x}}_{\alpha}) \sqrt{\frac{p_{n0}}{p_n}} \times \\ \times \tilde{\mathcal{A}}_{(\mathbb{A})}^{(\mathbb{A}_0)}(\hat{\mathbf{y}}_{\alpha}, \mathbf{p}_{n_0}) \frac{\exp[i(p_n y_{\alpha} - \eta_n \log(2p_n y_{\alpha}))]}{y_{\alpha}}. \end{aligned} \quad (10)$$

Здесь $Y_{lm}(\hat{\mathbf{x}})$ обозначает стандартную сферическую гармонику. Мультииндекс $\mathbb{A} = \{Am\} = \{\alpha n l m\}$ задает каналы рассеяния, т.е. различные связанные

кулоновские состояния двух тел пары α с волновой функцией $\phi_{nl}(x_\alpha)Y_{lm}(\hat{\mathbf{x}}_\alpha)/x_\alpha$ и энергией ε_n . Поскольку в теории многие величины имеют вырождение по магнитному квантовому числу m , мы также вводим мультииндекс $A = \{\alpha nl\}$. Импульс p_n улетающей частицы определяется условием сохранения энергии $E = p_n^2 + \varepsilon_n$, а параметр Зоммерфельда определяется как

$$\eta_n \equiv Z_\alpha(Z_\beta + Z_\gamma)\sqrt{2\mu_{\alpha(\beta\gamma)}}/(2p_n).$$

Начальный канал $\mathbb{A}_0 = \{\alpha_0 n_0 \ell_0 m_0\}$ задается падающей волной

$$I^{(\mathbb{A}_0)}(\mathbf{x}_\alpha, \mathbf{y}_\alpha) = \frac{\phi_{n_0 \ell_0}(x_\alpha)}{x_\alpha} Y_{\ell_0 m_0}(\hat{\mathbf{x}}_\alpha) \times e^{i(\mathbf{p}_{n_0}, \mathbf{y}_\alpha)} e^{-\pi \eta_{n_0}/2} \Gamma(1 + i\eta_{n_0}) \times {}_1F_1(-i\eta_{n_0}, 1, i(p_{n_0} y_\alpha - (\mathbf{p}_{n_0}, \mathbf{y}_\alpha))), \quad (11)$$

где ${}_1F_1$ — конфлюэнтная гипергеометрическая функция [25]. Амплитуда бинарного рассеяния

$$\mathcal{A}_{(\mathbb{A})(\mathbb{A}_0)}(\hat{\mathbf{y}}_\alpha, \mathbf{p}_{n_0}) = \mathcal{A}_C(\hat{\mathbf{y}}_\alpha, \mathbf{p}_{n_0}) \delta_{(\mathbb{A})(\mathbb{A}_0)} + \tilde{\mathcal{A}}_{(\mathbb{A})(\mathbb{A}_0)}(\hat{\mathbf{y}}_\alpha, \mathbf{p}_{n_0}) \quad (12)$$

соответствует переходу от начального бинарного канала \mathbb{A}_0 к бинарному каналу \mathbb{A} . Здесь \mathcal{A}_C — стандартная двухчастичная кулоновская амплитуда рассеяния [26]. Сечение рассеяния бинарного процесса с начальным \mathbb{A}_0 и конечным \mathbb{A} состояниями дается выражением

$$\sigma_{\mathbb{A}\mathbb{A}_0} = \frac{1}{2m_{\alpha_0(\beta\gamma)}} \int d\hat{\mathbf{y}}_\alpha |\mathcal{A}_{(\mathbb{A})(\mathbb{A}_0)}(\hat{\mathbf{y}}_\alpha, \mathbf{p}_{n_0})|^2. \quad (13)$$

Чаще, однако же, интересуются сечением рассеяния, усредненным и суммированным по магнитным квантовым числам начальных и конечных состояний:

$$\sigma_{AA_0} = \frac{1}{2\ell_0 + 1} \sum_{m=-\ell}^{\ell} \sum_{m_0=-\ell_0}^{\ell_0} \sigma_{\mathbb{A}\mathbb{A}_0}. \quad (14)$$

2.2. Парциальный анализ

Полный орбитальный момент является интегралом движения для рассматриваемой системы. Это делает возможным провести редукцию уравнений ФМ путем проецирования (4) на подпространство с заданным полным орбитальным моментом и тем самым понизить размерность уравнений с 6 до 3. Так полученные уравнения называются трехмерными (3D) уравнениями ФМ в представлении полного орбитального момента, они были впервые получены в работе [27]. Здесь мы даем краткий вывод

3D-уравнений ФМ, используя при этом подходящие для наших целей обозначения.

Начнем с введения новых кинематических координат $(X_\alpha, \Omega_\alpha)$ в шестимерном конфигурационном пространстве задачи. Координаты

$$X_\alpha = \{x_\alpha, y_\alpha, z_\alpha = \cos \theta_\alpha \equiv (\mathbf{x}_\alpha, \mathbf{y}_\alpha)/(x_\alpha y_\alpha)\}$$

определяют положение частиц в содержащей их плоскости. Они изображены на рис. 1. Координаты $\Omega_\alpha = \{\phi_\alpha, \vartheta_\alpha, \varphi_\alpha\}$ определяют положение плоскости в пространстве. Это стандартные углы Эйлера поворота некоторой лабораторной системы координат в связанную с частицами систему координат [28], в которой вектор \mathbf{x}_α расположен вдоль оси z , а вектор \mathbf{y}_α лежит в правой половине плоскости xz . Выполняются три поворота против часовой стрелки: вращение вокруг оси z лабораторной системы координат на угол $\phi_\alpha \in [0, 2\pi)$, за ним следует вращение вокруг новой оси y' на угол $\vartheta_\alpha \in [0, \pi)$, и последнее вращение вокруг новой оси z'' на угол $\varphi_\alpha \in [0, 2\pi)$. Координаты вектора в лабораторной и связанной с частицами системах координат связаны посредством стандартной матрицы вращения $\mathfrak{R}(\phi_\alpha, \vartheta_\alpha, \varphi_\alpha)$ [26, 28]. Связь между наборами координат $(\mathbf{x}_\alpha, \mathbf{y}_\alpha)$ и $(X_\alpha, \Omega_\alpha)$ легко записывается при помощи этой матрицы [27]. Связь между наборами координат X_α и X_β выводится из (3):

$$\begin{aligned} x_\beta &= \sqrt{c_{\beta\alpha}^2 x_\alpha^2 + 2s_{\beta\alpha} c_{\beta\alpha} x_\alpha y_\alpha z_\alpha + s_{\beta\alpha}^2 y_\alpha^2}, \\ y_\beta &= \sqrt{s_{\beta\alpha}^2 x_\alpha^2 - 2s_{\beta\alpha} c_{\beta\alpha} x_\alpha y_\alpha z_\alpha + c_{\beta\alpha}^2 y_\alpha^2}, \\ z_\beta &= \frac{s_{\beta\alpha} c_{\beta\alpha} (y_\alpha^2 - x_\alpha^2) + (c_{\beta\alpha}^2 - s_{\beta\alpha}^2) x_\alpha y_\alpha z_\alpha}{x_\beta y_\beta}. \end{aligned} \quad (15)$$

Связанные с частицами системы координат, определенные относительно различных наборов координат Якоби с индексами α и β , преобразуются друг в друга вращением вокруг оси, перпендикулярной плоскости частиц, на угол

$$w_{\beta\alpha} = \arccos \frac{-s_{\beta\alpha} y_\alpha z_\alpha + c_{\beta\alpha} x_\alpha}{x_\beta},$$

если $(\beta - \alpha) \bmod 3 = 2$, и

$$w_{\beta\alpha} = 2\pi - \arccos \frac{-s_{\beta\alpha} y_\alpha z_\alpha + c_{\beta\alpha} x_\alpha}{x_\beta}$$

в остальных случаях (значения \arccos лежат на интервале $[0, \pi]$). Таким образом, связь между наборами углов Эйлера с различными индексами дается соотношениями

$$\mathfrak{R}(\phi_\beta, \vartheta_\beta, \varphi_\beta) = \mathfrak{R}(\phi_\alpha, \vartheta_\alpha, \varphi_\alpha) \mathfrak{R}(0, w_{\beta\alpha}, 0). \quad (16)$$

Замена переменных в уравнениях (4) приводит их к виду

$$\left\{ T_\alpha + V_\alpha(x_\alpha) + \sum_{\beta \neq \alpha} V_\beta^{(l)}(x_\beta, y_\beta) - E \right\} \psi_\alpha(X_\alpha, \Omega_\alpha) = -V_\alpha^{(s)}(x_\alpha, y_\alpha) \sum_{\beta \neq \alpha} \psi_\beta(X_\beta, \Omega_\beta), \quad \alpha = 1, 2, 3, \quad (17)$$

где для компонент, выраженных в новых переменных, по-прежнему используется обозначение $\psi_\alpha(X_\alpha, \Omega_\alpha)$. Операторы кинетической энергии в новых переменных имеют вид

$$T_\alpha = -\frac{1}{y_\alpha^2} \frac{\partial}{\partial y_\alpha} y_\alpha^2 \frac{\partial}{\partial y_\alpha} - \frac{1}{x_\alpha^2} \frac{\partial}{\partial x_\alpha} x_\alpha^2 \frac{\partial}{\partial x_\alpha} - \left(\frac{1}{y_\alpha^2} + \frac{1}{x_\alpha^2} \right) \left(\frac{1}{\sin \theta_\alpha} \frac{\partial}{\partial \theta_\alpha} \sin \theta_\alpha \frac{\partial}{\partial \theta_\alpha} + \frac{1}{\sin^2 \theta_\alpha} \frac{\partial^2}{\partial \varphi_\alpha^2} \right) + \frac{\mathbf{L}^2 - \mathbf{K}_\alpha}{x_\alpha^2}. \quad (18)$$

В выражении (18) первые несколько слагаемых являются операторами, действующими по переменным X_α , в то время как последнее слагаемое действует по всем шести кинематическим координатам $(X_\alpha, \Omega_\alpha)$, но при этом имеет ясный физический смысл. В частности, оператор \mathbf{L}^2 является оператором квадрата полного орбитального момента количества движения:

$$\mathbf{L}^2 = - \left[\frac{1}{\sin \vartheta_\alpha} \frac{\partial}{\partial \vartheta_\alpha} \sin \vartheta_\alpha \frac{\partial}{\partial \vartheta_\alpha} + \frac{1}{\sin^2 \vartheta_\alpha} \left(\frac{\partial^2}{\partial \phi_\alpha^2} - 2 \cos \vartheta_\alpha \frac{\partial^2}{\partial \phi_\alpha \partial \varphi_\alpha} + \frac{\partial^2}{\partial \varphi_\alpha^2} \right) \right], \quad (19)$$

а оператор

$$\mathbf{K}_\alpha = \frac{\partial}{\partial \theta_\alpha} \left(\mathbf{L}_\alpha^{(+)} + \mathbf{L}_\alpha^{(-)} \right) + \operatorname{ctg} \theta_\alpha \left(\mathbf{L}_\alpha^{(+)} - \mathbf{L}_\alpha^{(-)} \right) \mathbf{L}_{z'} + 2\mathbf{L}_{z'}^2 \quad (20)$$

выражается через операторы

$$\mathbf{L}_\alpha^{(\pm)} = \mp e^{\mp i\varphi_\alpha} \left[\pm \frac{\partial}{\partial \vartheta_\alpha} + \frac{i}{\sin \vartheta_\alpha} \frac{\partial}{\partial \phi_\alpha} - i \operatorname{ctg} \vartheta_\alpha \frac{\partial}{\partial \varphi_\alpha} \right], \quad \mathbf{L}_{z'} = -i\partial / \partial \varphi_\alpha, \quad (21)$$

связанные с проекциями оператора полного орбитального момента на различные оси.

На следующем этапе компоненты ФМ раскладываются как

$$\psi_\alpha(X_\alpha, \Omega_\alpha) = \sum_{L=0}^{+\infty} \sum_{\tau=\pm 1} \sum_{M=-L}^L \sum_{M'=M_0}^L (1-z_\alpha^2)^{M'/2} \times \frac{\psi_{\alpha MM'}^{L\tau}(X_\alpha)}{x_\alpha y_\alpha} F_{MM'}^{L\tau}(\Omega_\alpha). \quad (22)$$

Здесь $M_0 = (1 - \tau)/2$, а функции

$$F_{MM'}^{L\tau}(\Omega_\alpha) = \frac{1}{\sqrt{2+2\delta_{M'0}}} \times \left(D_{MM'}^L(\Omega_\alpha) + \tau(-1)^{M'} D_{M,-M'}^L(\Omega_\alpha) \right) \quad (23)$$

являются линейными комбинациями D -функций Вигнера $D_{MM'}^L$ [28, 29]. Заметим, что определение функций $D_{MM'}^L$ в [28, 29] отличается от того, которое используется в [27]. Функции $F_{MM'}^{L\tau}$ являются общими собственными функциями операторов квадрата полного орбитального момента, его проекции и оператора пространственной инверсии [27, 29] с собственными значениями $L(L+1)$, M и $\sigma = \tau(-1)^L$. Основные свойства этих функций приведены в Приложении А. Множитель $(1 - z_\alpha^2)^{M'/2}$ в (22) вводится, чтобы сделать парциальные компоненты $\psi_{\alpha MM'}^{L\tau}$ и их производные неособыми в $z_\alpha = \pm 1$ [30, 31].

Теперь, подставляя ряд (22) в уравнения ФМ (17) и проецируя полученные уравнения на функции $F_{MM'}^{L\tau}$, с помощью соотношений Приложения А получаем конечный набор трехмерных уравнений для парциальных компонент $\psi_{\alpha MM'}^{L\tau}(X_\alpha)$:

$$\left[T_{\alpha MM'}^{L\tau} + V_\alpha(x_\alpha) + \sum_{\beta \neq \alpha} V_\beta^{(l)}(x_\beta, y_\beta) - E \right] \psi_{\alpha MM'}^{L\tau}(X_\alpha) + T_{\alpha M, M'-1}^{L\tau-} \psi_{\alpha M, M'-1}^{L\tau}(X_\alpha) + T_{\alpha M, M'+1}^{L\tau+} \psi_{\alpha M, M'+1}^{L\tau}(X_\alpha) = -\frac{V_\alpha^{(s)}(x_\alpha, y_\alpha)}{(1-z_\alpha^2)^{\frac{M'}{2}}} \sum_{\beta \neq \alpha} \frac{x_\alpha y_\alpha}{x_\beta y_\beta} \sum_{M''=M_0}^L \frac{2(-1)^{M''-M'}}{\sqrt{2+2\delta_{M''0}}} \times F_{M''M'}^{L\tau}(0, w_{\beta\alpha}, 0) (1-z_\beta^2)^{\frac{M''}{2}} \psi_{\beta MM''}^{L\tau}(X_\beta). \quad (24)$$

Операторы кинетической энергии имеют вид

$$\begin{aligned}
 T_{\alpha MM'}^{L\tau} &= -\frac{\partial^2}{\partial y_\alpha^2} + \frac{1}{x_\alpha^2} (L(L+1) - 2M'^2) - \frac{\partial^2}{\partial x_\alpha^2} - \\
 &\quad - \left(\frac{1}{y_\alpha^2} + \frac{1}{x_\alpha^2} \right) \left((1 - z_\alpha^2) \frac{\partial^2}{\partial z_\alpha^2} - \right. \\
 &\quad \left. - 2(M'+1)z_\alpha \frac{\partial}{\partial z_\alpha} - M'(M'+1) \right), \\
 T_{\alpha M, M'+1}^{L\tau+} &= \frac{1}{x_\alpha^2} \lambda^{L, M'} \sqrt{1 + \delta_{M'0}} \times \\
 &\quad \times \left[-(1 - z_\alpha^2) \frac{\partial}{\partial z_\alpha} + 2(M'+1)z_\alpha \right], \\
 T_{\alpha M, M'-1}^{L\tau-} &= \frac{1}{x_\alpha^2} \lambda^{L, -M'} \sqrt{1 + \delta_{M'1}} \frac{\partial}{\partial z_\alpha}.
 \end{aligned} \tag{25}$$

Здесь

$$\lambda^{LM'} = \sqrt{L(L+1) - M'(M'+1)}. \tag{26}$$

Полученные выражения являются 3D-уравнениями ФМ в представлении полного орбитального момента. Вследствие того, что полный орбитальный момент, его проекция и пространственная четность являются интегралами движения для рассматриваемых нами трехчастичных систем, полученные уравнения с различающимися индексами L, M и τ образуют независимые системы уравнений. При данных L, M и τ уравнения системы (24) нумеруются индексами $\alpha = 1, 2, 3$ и $M' = M_0, \dots, L$ и тем самым образуют конечный набор $3n_M = 3(L - M_0 + 1)$ трехмерных уравнений в частных производных. Парциальные компоненты $\psi_{\alpha MM'}^{L\tau}$ должны удовлетворять нулевым граничным условиям типа Дирихле на прямых $x_\alpha = 0, y_\alpha = 0$.

Теперь перейдем к парциальному анализу асимптотических граничных условий (9) на компоненты волновой функции. Представим асимптотику парциальных компонент в виде

$$\begin{aligned}
 \psi_{\alpha MM'}^{L\tau}(X_\alpha) &= \psi_{\alpha MM'}^{(\mathbb{A}_0)L\tau}(X_\alpha) \sim \\
 &\sim I_{MM'}^{(\mathbb{A}_0)L\tau}(X_{\alpha_0}) \delta_{\alpha\alpha_0} + O_{\alpha MM'}^{(\mathbb{A}_0)L\tau}(X_\alpha). \tag{27}
 \end{aligned}$$

Вывод выражений для парциальных компонент падающей $I_{MM'}^{(\mathbb{A}_0)L\tau}$ и рассеянной $O_{\alpha MM'}^{(\mathbb{A}_0)L\tau}$ волн представлен в Приложении В. При выборе лабораторной системы координат, в которой импульс рассеиваемой частицы \mathbf{p}_{n_0} расположен вдоль оси z , парциальная компонента падающей волны дается выражением

$$\begin{aligned}
 I_{MM'}^{(\mathbb{A}_0)L\tau}(X_\alpha) &= \delta_{-M, m_0} \frac{(-1)^M \sqrt{(2\ell_0 + 1)}}{p_{n_0} \sqrt{2 + 2\delta_{M'0}}} \phi_{n_0 \ell_0}(x_\alpha) \times \\
 &\quad \times \sum_{\lambda=|L-\ell_0|}^{L+\ell_0} \sqrt{2\lambda + 1} i^\lambda e^{i\sigma_\lambda(\eta_{n_0})} F_\lambda(\eta_{n_0}, p_{n_0} y_\alpha) \times \\
 &\quad \times \frac{Y_{\lambda M'}(\theta_\alpha, 0)}{(1 - z_\alpha^2)^{\frac{M'}{2}}} C_{\lambda, 0, \ell_0, M}^{L, M} C_{\lambda, M', \ell_0, 0}^{L, M'} (1 + \tau(-1)^{\lambda+\ell_0-L}), \tag{28}
 \end{aligned}$$

где кулоновский фазовый сдвиг

$$\sigma_\lambda(\eta_{n_0}) = \arg \Gamma(1 + \lambda + i\eta_{n_0}),$$

F_λ — регулярная кулоновская функция [26] и $C_{l_1, m_1, l_2, m_2}^{l, m}$ — коэффициенты Клебша–Гордана. Заметим, что решение уравнений ФМ (24) является нетривиальным только при условии ненулевой падающей волны. Из формулы (28) следует, что это имеет место только при проекции полного орбитального момента $M = -m_0$. Пусть теперь парциальное разложение амплитуды рассеяния имеет вид

$$\tilde{\mathcal{A}}_{(\mathbb{A}) (\mathbb{A}_0)}(\hat{\mathbf{y}}_\alpha) = \sum_{\lambda=0}^{+\infty} \sum_{m_\lambda=-\lambda}^{\lambda} \tilde{\mathcal{A}}_{(\mathbb{A}\lambda m_\lambda) (\mathbb{A}_0)} Y_{\lambda m_\lambda}(\hat{\mathbf{y}}_\alpha). \tag{29}$$

Тогда парциальная компонента рассеянной волны дается выражением

$$\begin{aligned}
 O_{\alpha MM'}^{(\mathbb{A}_0)L\tau}(X_\alpha) &= \frac{(-1)^M}{\sqrt{4\pi(2 + 2\delta_{M'0})}} \sum_{n\ell} \sqrt{2\ell + 1} \phi_{n\ell}(x_\alpha) \times \\
 &\quad \times \sum_{\lambda=|L-\ell|}^{L+\ell} \frac{Y_{\lambda M'}(\theta_\alpha, 0)}{(1 - z_\alpha^2)^{\frac{M'}{2}}} \sqrt{\frac{p_{n_0}}{p_n}} \tilde{\mathcal{A}}_{(A\lambda) (\mathbb{A}_0)}^{LM\tau} \times \\
 &\quad \times C_{\lambda, M', \ell, 0}^{L, M'} (1 + \tau(-1)^{\lambda+\ell-L}) \hat{u}_\lambda^\pm(\eta_n, p_n y_\alpha), \tag{30}
 \end{aligned}$$

где мы определили

$$\begin{aligned}
 \tilde{\mathcal{A}}_{(A\lambda) (\mathbb{A}_0)}^{LM\tau} &= \frac{1 + \tau(-1)^{\lambda+\ell-L}}{2} \times \\
 &\quad \times \sum_{m=-\ell}^{\ell} C_{\lambda, m+M, \ell, -m}^{L, M} \tilde{\mathcal{A}}_{(\mathbb{A}, \lambda, -M-m) (\mathbb{A}_0)}. \tag{31}
 \end{aligned}$$

Здесь и ниже

$$\hat{u}_\lambda^\pm = e^{\pm i\pi\lambda/2} u_\lambda^\pm(\eta_n, p_n y_\alpha)$$

— кулоновские сходящаяся и расходящаяся волны [26]. Из приведенного выше обсуждения следует, что единственным ненулевым является коэффициент с $M = -m_0$ и, значит,

$$\tilde{\mathcal{A}}_{(A\lambda) (\mathbb{A}_0)}^{LM\tau} \equiv \delta_{M, -m_0} \tilde{\mathcal{A}}_{(A\lambda) (\mathbb{A}_0)}^{L\tau}. \tag{32}$$

Отметим также, что из-за задающих условия отбора множителей типа $(1 + \tau(-1)^{\lambda+\ell-L})$ в (28) и (30) в имеющихся там суммах ненулевыми являются слагаемые только лишь с четными или нечетными значениями λ , в зависимости от значения $\tau = \pm 1$ при данных L и $\ell_0(\ell)$.

Пусть коэффициенты парциального разложения $\mathcal{A}_{(\mathbb{A}\lambda m_\lambda)(\mathbb{A}_0)}$ полной амплитуды рассеяния $\mathcal{A}_{(\mathbb{A})(\mathbb{A}_0)}(\hat{\mathbf{y}}_\alpha)$ определены формулой, аналогичной формуле (29). Тогда, используя парциальное разложение кулоновской амплитуды рассеяния [26]:

$$\mathcal{A}_C(\hat{\mathbf{y}}_\alpha) = \frac{4\pi}{p_{n_0}} \sum_{\lambda=0}^{+\infty} \frac{e^{i2\sigma_\lambda(\eta_{n_0})} - 1}{2i} \times \sum_{m_\lambda=-\lambda}^{\lambda} Y_{\lambda m_\lambda}^*(\hat{\mathbf{p}}_{n_0}) Y_{\lambda m_\lambda}(\hat{\mathbf{y}}_\alpha), \quad (33)$$

непосредственно можно показать, что при расположении вектора \mathbf{p}_{n_0} вдоль оси z лабораторной системы координат имеет место формула

$$\mathcal{A}_{(\mathbb{A}\lambda m_\lambda)(\mathbb{A}_0)} = \tilde{\mathcal{A}}_{(\mathbb{A}\lambda m_\lambda)(\mathbb{A}_0)} + \delta_{\mathbb{A}\mathbb{A}_0} \delta_{m_\lambda 0} \frac{\sqrt{\pi(2\lambda+1)}}{ip_{n_0}} (e^{i2\sigma_\lambda(\eta_{n_0})} - 1). \quad (34)$$

Подобно (31) и (32) определим парциальную компоненту полной амплитуды:

$$\begin{aligned} \mathcal{A}_{(A\lambda)(\mathbb{A}_0)}^{L\tau} &\equiv \frac{1 + \tau(-1)^{\lambda+\ell-L}}{2} \times \\ &\times \sum_{m=-\ell}^{\ell} C_{\lambda, m-m_0, \ell, -m}^{L, -m_0} \mathcal{A}_{(\mathbb{A}, \lambda, m_0-m)(\mathbb{A}_0)} = \\ &= \tilde{\mathcal{A}}_{(A\lambda)(\mathbb{A}_0)}^{L\tau} + \delta_{AA_0} \frac{1 + \tau(-1)^{\lambda+\ell_0-L}}{2} \times \\ &\times \frac{\sqrt{\pi(2\lambda+1)}}{ip_{n_0}} (e^{i2\sigma_\lambda(\eta_{n_0})} - 1) C_{\lambda, 0, \ell_0, -m_0}^{L, -m_0}. \end{aligned} \quad (35)$$

В Приложении С показано, что сечение рассеяния σ_{AA_0} , определенное в (14), выражается через введенные выше компоненты амплитуды $\mathcal{A}_{(A\lambda)(\mathbb{A}_0)}^{L\tau}$ по формулам

$$\begin{aligned} \sigma_{AA_0} &= \sum_{L=0}^{+\infty} \sigma_{AA_0}^L, \\ \sigma_{AA_0}^L &= \frac{1}{2m_{\alpha_0(\beta\gamma)}} \frac{1}{2\ell_0 + 1} \times \\ &\times \sum_{m_0=-\ell_0}^{\ell_0} \sum_{\lambda=|L-\ell|}^{L+\ell} \sum_{\tau=\pm 1} \left| \mathcal{A}_{(A\lambda)(\mathbb{A}_0)}^{L\tau} \right|^2, \end{aligned} \quad (36)$$

где $\sigma_{AA_0}^L$ — парциальные сечения рассеяния.

Для вычисления парциального сечения рассеяния $\sigma_{AA_0}^L$ требуется решать трехмерные уравнения ФМ (24), дополненные различными асимптотическими граничными условиями (27) с падающими волнами $I_{MM'}^{(\mathbb{A}_0)L\tau}$, которые различаются значениями $m_0 = -M = -\ell_0, \dots, \ell_0$ и $\tau = \pm 1$. С вычислительной точки зрения, однако же, более эффективным является использование вместо $I_{MM'}^{(\mathbb{A}_0)L\tau}$ падающих волн вида

$$\begin{aligned} I_{MM'}^{(A_0\lambda_0)L\tau}(X_\alpha) &= \phi_{n_0\ell_0}(x_\alpha) F_{\lambda_0}(\eta_{n_0}, p_{n_0}y_\alpha) \times \\ &\times \frac{Y_{\lambda_0 M'}(\theta_\alpha, 0)}{(1 - z_\alpha^2)^{M'/2}} \times \\ &\times C_{\lambda_0, M', \ell_0, 0}^{L, M'} (1 + \tau(-1)^{\ell_0+\lambda_0-L}) / \sqrt{2 + 2\delta_{M'0}}. \end{aligned} \quad (37)$$

Приведем в завершение этого раздела соответствующие расчетные формулы. Асимптотика парциальной компоненты $\psi_{\alpha MM'}^{L\tau}$ с падающей волной (37) имеет вид

$$\begin{aligned} \psi_{\alpha MM'}^{L\tau}(X_\alpha) &= \psi_{\alpha MM'}^{(A_0\lambda_0)L\tau}(X_\alpha) \sim \\ &\sim I_{MM'}^{(A_0\lambda_0)L\tau}(X_\alpha) \delta_{\alpha\alpha_0} + O_{\alpha MM'}^{(A_0\lambda_0)L\tau}(X_\alpha), \end{aligned} \quad (38)$$

где

$$\begin{aligned} O_{\alpha MM'}^{(A_0\lambda_0)L\tau} &= \frac{1}{\sqrt{4\pi(2 + 2\delta_{M'0})}} \sum_{n\ell} \sqrt{2\ell + 1} \phi_{n\ell}(x_\alpha) \times \\ &\times \sum_{\lambda=|L-\ell|}^{L+\ell} \frac{Y_{\lambda M'}(\theta_\alpha, 0)}{(1 - z_\alpha^2)^{M'/2}} \sqrt{\frac{p_{n_0}}{p_n}} \tilde{\mathcal{A}}_{(A\lambda)(A_0\lambda_0)}^{L\tau} \times \\ &\times C_{\lambda, M', \ell, 0}^{L, M'} (1 + \tau(-1)^{\lambda+\ell-L}) \hat{u}_\lambda^+(\eta_n, p_n y_\alpha). \end{aligned} \quad (39)$$

Физические решение и амплитуда рассеяния, отвечающие начальному каналу \mathbb{A}_0 с $m_0 = -M$, могут быть восстановлены по формулам

$$\begin{aligned} \psi_{\alpha MM'}^{(\mathbb{A}_0)L\tau}(X_\alpha) &= \frac{(-1)^M \sqrt{2\ell_0 + 1}}{p_{n_0}} \times \\ &\times \sum_{\lambda_0=|L-\ell_0|}^{L+\ell_0} \sqrt{2\lambda_0 + 1} \times \\ &\times i^{\lambda_0} e^{i\sigma_{\lambda_0}(\eta_{n_0})} C_{\lambda_0, 0, \ell_0, M}^{L, M} \psi_{\alpha MM'}^{(A_0\lambda_0)L\tau}(X_\alpha), \end{aligned} \quad (40)$$

$$\begin{aligned} \tilde{\mathcal{A}}_{(A\lambda)(\mathbb{A}_0)}^{L\tau} &= \frac{\sqrt{2\ell_0 + 1}}{p_{n_0}} \sum_{\lambda_0=|L-\ell_0|}^{L+\ell_0} \sqrt{2\lambda_0 + 1} \times \\ &\times i^{\lambda_0} e^{i\sigma_{\lambda_0}(\eta_{n_0})} C_{\lambda_0, 0, \ell_0, M}^{L, M} \tilde{\mathcal{A}}_{(A\lambda)(A_0\lambda_0)}^{L\tau}. \end{aligned} \quad (41)$$

2.3. Дипольное взаимодействие

Наличие в системе трех заряженных частиц эффективного дипольного потенциала между возбужденным связанным состоянием пары α (атомом) и частицей α приводит к тому, что представление (30) становится недостаточно точным, так как оставляет дипольное взаимодействие нескомпенсированным. Учет дипольного взаимодействия в асимптотике компонент волновых функций удобно провести в так называемом бисферическом базисе. Соответствующая теория дана нами в отдельной публикации [32]. Приведем здесь основной теоретический результат этой работы, который заключается в том, что уточненная асимптотика компоненты ФМ, описывающей процессы с сохраняющимися квантовыми числами L, M и τ , имеет вид

$$\begin{aligned} \psi_\alpha(\mathbf{x}_\alpha, \mathbf{y}_\alpha) &\sim \frac{2\pi i}{p_{n_0}} \frac{1}{x_\alpha y_\alpha} \times \\ &\times \sum_{L=0}^{+\infty} \sum_{M=-L}^{+L} \sum_{n\ell\lambda} \phi_{n\ell}(x_\alpha) g_{\alpha(n\ell\lambda)}^{LM\tau}(y_\alpha, p_n) \times \\ &\times \mathcal{Y}_{\ell\lambda}^{LM}(\hat{\mathbf{x}}_\alpha, \hat{\mathbf{y}}_\alpha). \end{aligned} \quad (42)$$

Здесь бисферические гармоники [3, 28] даются формулами

$$\begin{aligned} \mathcal{Y}_{\ell_1\ell_2}^{LM}(\hat{\mathbf{x}}, \hat{\mathbf{y}}) &= \\ &= \sum_{m_1=-\ell_1}^{\ell_1} \sum_{m_2=-\ell_2}^{\ell_2} C_{\ell_1 m_1 \ell_2 m_2}^{LM} Y_{\ell_1, m_1}(\hat{\mathbf{x}}) Y_{\ell_2, m_2}(\hat{\mathbf{y}}). \end{aligned} \quad (43)$$

Функции $g_{\alpha(n\ell\lambda)}^{LM\tau}$ являются решениями уравнений сильной связи каналов,

$$\begin{aligned} \left[-\frac{d^2}{dy_\alpha^2} + \frac{\lambda(\lambda+1)}{y_\alpha^2} + \frac{C_\alpha}{y_\alpha} - p_n^2 \right] g_{\alpha(n\ell\lambda)}^{LM\tau}(y_\alpha, p_n) + \\ + \sum_{n'\ell'\lambda'} \frac{d_{\alpha(n\ell\lambda)(n'\ell'\lambda')}^L}{y_\alpha^2} g_{\alpha(n'\ell'\lambda')}^{LM\tau}(y_\alpha, p_{n'}) = 0, \end{aligned} \quad (44)$$

в которых зарядовая константа асимптотического кулоновского взаимодействия между атомом и частицей α определяется формулой

$$C_\alpha = Z_\alpha(Z_\beta + Z_\gamma) \sqrt{2\mu_{\alpha(\beta\gamma)}}.$$

Задающая асимптотическое дипольное взаимодействие матрица d_{α}^L определена в [32]. Используя стан-

дартные формулы теории углового момента [28], можно показать, что

$$\begin{aligned} d_{\alpha(n\ell\lambda)(n'\ell'\lambda')}^L &= \\ &= \frac{(-1)^{L+1}}{3} \sqrt{(2\ell+1)(2\ell'+1)(2\lambda+1)(2\lambda'+1)} \times \\ &\times C_{\ell_0\ell'_0}^{10} C_{\lambda_0\lambda'_0}^{10} \left\{ \begin{matrix} \ell & \lambda & L \\ \lambda' & \ell' & 1 \end{matrix} \right\} D_\alpha K_{\alpha(n\ell)(n'\ell')}. \end{aligned} \quad (45)$$

Здесь фигурные скобки обозначают $6j$ -символ Вигнера,

$$K_{\alpha(n\ell)(n'\ell')} = \int_0^{+\infty} dx_\alpha x_\alpha \phi_{n'\ell'}(x_\alpha) \phi_{n\ell}(x_\alpha), \quad (46)$$

кинематическая константа

$$D_\alpha = - \sum_{\beta \neq \alpha} \frac{\sqrt{2\mu_\beta} Z_\alpha Z_\gamma c_{\beta\alpha}}{|s_{\beta\alpha}| s_{\beta\alpha}}. \quad (47)$$

Заметим, что задающие ненулевые элементы дипольного потенциала индексы $\ell, \lambda, \ell', \lambda', L$ удовлетворяют различным условиям треугольника из-за имеющихся в формуле (45) объектов, в частности $\ell'(\lambda') = \ell(\lambda) \pm 1$. Заметим дополнительно, что матричный дипольный потенциал не зависит от квантового числа M , поэтому этот индекс опускается в обозначении потенциала и вводимых ниже величин, связанных с решением уравнений (44). Нумерующие уравнения (44) и компоненты их решения индексы $n\ell$ пробегают значения, задающиеся открытыми при данной энергии E полной задачи двухчастичными каналами ($p_n^2 = E - \varepsilon_n \geq 0$), индекс λ принимает значения от $|L - \ell|$ до $L + \ell$. Кроме того, для получения решения (42) с заданной пространственной четностью $\sigma = (-1)^{L\tau}$ индексы должны удовлетворять условиям отбора

$$1 + \tau(-1)^{\ell+\lambda-L} \neq 0.$$

В [32] получена асимптотическая в пределе $y_\alpha \rightarrow +\infty$ система решений уравнений (44), которая задается матрицей с элементами

$$\begin{aligned} G_{\alpha(n\ell\lambda)(n'\ell'\lambda')}^{L\tau\pm}(y_\alpha) &= \left[W_{\alpha(n\ell\lambda)(n'\ell'\lambda')}^{L\tau(0)} + \right. \\ &\left. + \frac{1}{y_\alpha^2} W_{\alpha(n\ell\lambda)(n'\ell'\lambda')}^{L\tau(1)} \right] \hat{u}_{\lambda_{\alpha(n'\ell'\lambda')}}^{\pm}(\eta_{n'}, p_{n'} y_\alpha). \end{aligned} \quad (48)$$

Здесь матрицы имеют вид

$$\begin{aligned}
 W_{\alpha(n\ell\lambda)(n'\ell'\lambda')}^{L\tau(0)} &= \delta_{nn'} V_{\alpha(n\ell\lambda)(n'\ell'\lambda')}^{L\tau}, \\
 W_{\alpha(n\ell\lambda)(n'\ell'\lambda')}^{L\tau(1)} &= (1 - \delta_{nn'}) \times \\
 &\times \frac{\sum_{\ell''\lambda''} d_{\alpha(n\ell\lambda)(n'\ell''\lambda'')}^L V_{\alpha(n'\ell''\lambda'')(n'\ell'\lambda')}^{L\tau}}{p_n^2 - p_{n'}^2},
 \end{aligned} \tag{49}$$

а новые значения угловых моментов $\lambda_{\alpha(n\ell\lambda)}^{L\tau}$ возникают как решения квадратных уравнений

$$\lambda_{\alpha(n\ell\lambda)}^{L\tau} (\lambda_{\alpha(n\ell\lambda)}^{L\tau} + 1) = b_{\alpha(n\ell\lambda)}^{L\tau}. \tag{50}$$

Наконец, матрицы $b_{\alpha}^{L\tau}$ и $V_{\alpha}^{L\tau}$ составлены из собственных значений и собственных векторов матрицы

$$\lambda(\lambda + 1) \delta_{\ell\lambda, \ell'\lambda'} + d_{\alpha(n\ell\lambda)(n\ell'\lambda')}^L, \tag{51}$$

$$\ell(\ell') = 0, \dots, n - 1,$$

$$\lambda(\lambda') = |L - \ell(\ell')|, \dots, L + \ell(\ell'),$$

$$1 + \tau(-1)^{\ell(\ell') + \lambda(\lambda') - L} \neq 0.$$

Заметим, что именно второй член в квадратных скобках в (48) ответственен за полную компенсацию дипольной части взаимодействия в уравнениях. Он учитывает внедиагональные по главному квантовому числу n элементы матричного дипольного потенциала $d_{\alpha}^L/y_{\alpha}^2$, которые не учитывались в работах других авторов [18, 33, 34]. Асимптотика решения $g_{\alpha}^{LM\tau}$ уравнений (44) для задачи рассеяния записывается в виде линейной комбинации решений $G_{\alpha}^{L\tau\pm}(y_{\alpha})$:

$$g_{\alpha}^{LM\tau}(y_{\alpha}) \sim G_{\alpha}^{L\tau-}(y_{\alpha}) \mathbf{o}^- - G_{\alpha}^{L\tau+}(y_{\alpha}) \mathbf{o}^+, \tag{52}$$

где \mathbf{o}^{\pm} — некоторые амплитудные векторы.

Изложенные выше результаты [32] получены в бисферическом базисе. Асимптотика (42), однако же, несложно пересчитывается в используемое в настоящей работе представление в базисе полного орбитального момента. Для этого достаточно воспользоваться связью между базисными функциями, которая по существу дается приведенными в Приложении В формулами (68). Несложный расчет, который мы здесь опускаем, показывает, что асимптоти-

ка (42) имеет вид (22) с парциальными компонентами вида

$$\begin{aligned}
 \psi_{\alpha MM'}^{L\tau}(X_{\alpha}) &\sim \frac{i(-1)^{L+M}}{2p_{n_0} \sqrt{2 + 2\delta_{M'0}}} \frac{1}{(1 - z_{\alpha}^2)^{M'/2}} \times \\
 &\times \sum_{n\ell} \sqrt{2\ell + 1} (-1)^{\ell} \phi_{n\ell}(x_{\alpha}) \times \\
 &\times \sum_{\lambda=|L-\ell|}^{L+\ell} (-1)^{\lambda} C_{\ell 0 \lambda M'}^{LM'} (1 + \tau(-1)^{\ell+\lambda-L}) Y_{\lambda M'}(\theta_{\alpha}, 0) \times \\
 &\times \left[\sum_{n'\ell'\lambda'} G_{\alpha(n\ell\lambda)(n'\ell'\lambda')}^{L\tau-}(y_{\alpha}) \mathbf{o}_{(n'\ell'\lambda')}^- - \right. \\
 &\quad \left. - G_{\alpha(n\ell\lambda)(n'\ell'\lambda')}^{L\tau+}(y_{\alpha}) \mathbf{o}_{(n'\ell'\lambda')}^+ \right]. \tag{53}
 \end{aligned}$$

Для получения решения, соответствующего процессу с падающей волной в канале A_0 , коэффициенты векторов \mathbf{o}^{\pm} следует подобрать такими, чтобы в пределе $y_{\alpha} \rightarrow \infty$ правые части асимптотических выражений (27) и (53) (или (38) и (53)) совпадали друг с другом. В случае сравнения формул (38) и (53), например, несложные расчеты, которые мы также опускаем, приводят к следующему виду парциальных компонент падающей и рассеянной волн:

$$\begin{aligned}
 I_{\alpha MM'}^{(A_0\lambda_0)L\tau}(X_{\alpha}) &= \frac{1}{\sqrt{2 + 2\delta_{M'0}}} \sum_{n\ell} \sqrt{2\ell + 1} \phi_{n\ell}(x_{\alpha}) \times \\
 &\times \sum_{\lambda=|L-\ell|}^{L+\ell} C_{\lambda M' \ell 0}^{LM'} (1 + \tau(-1)^{\ell+\lambda-L}) \frac{Y_{\lambda M'}(\theta_{\alpha}, 0)}{(1 - z_{\alpha}^2)^{M'/2}} \times \\
 &\times \sum_{\ell'\lambda'} e^{i(\pi\lambda_0/2 - \sigma_{\lambda_0}(\eta_{n_0}))} \left(V_{\alpha(n_0\ell_0\lambda_0)(n_0\ell'\lambda')}^{L\tau} \right)^* \times \\
 &\quad \times G_{\alpha(n\ell\lambda)(n_0\ell'\lambda')}^{L\tau-}(y_{\alpha}), \tag{54}
 \end{aligned}$$

$$\begin{aligned}
 O_{\alpha MM'}^{(A_0\lambda_0)L\tau}(X_{\alpha}) &= \frac{1}{\sqrt{4\pi(2 + 2\delta_{M'0})}} \times \\
 &\times \sum_{n\ell} \sqrt{2\ell + 1} \phi_{n\ell}(x_{\alpha}) \times \\
 &\times \sum_{\lambda=|L-\ell|}^{L+\ell} C_{\lambda M' \ell 0}^{LM'} (1 + \tau(-1)^{\ell+\lambda-L}) \frac{Y_{\lambda M'}(\theta_{\alpha}, 0)}{(1 - z_{\alpha}^2)^{M'/2}} \times \\
 &\times \sum_{n'\ell'\lambda'} \sqrt{\frac{p_{n_0}}{p_{n'}}} \tilde{\mathfrak{S}}_{(\alpha n'\ell'\lambda')(A_0\lambda_0)}^{L\tau} G_{\alpha(n\ell\lambda)(n'\ell'\lambda')}^{L\tau+}(y_{\alpha}). \tag{55}
 \end{aligned}$$

Связь между компонентами «физической» S -матрицы \tilde{S} и матрицы $\tilde{\mathfrak{S}}$, определенной решением с рассеянной волной (55), дается равенством

$$\begin{aligned} \tilde{S}_{(A\lambda)(A_0\lambda_0)}^{L\tau} &= \tilde{A}_{(A\lambda)(A_0\lambda_0)}^{L\tau} + \\ &+ \delta_{\alpha\alpha_0} \delta_{(n\ell\lambda)(n_0\ell_0\lambda_0)} \frac{1}{2i} \sqrt{\frac{4\pi}{2\ell_0 + 1}} e^{i(\sigma_{\lambda_0}(\eta_{n_0}) - \pi\lambda_0/2)} = \\ &= \frac{i}{2\sqrt{2\ell_0 + 1}} \sum_{\ell'\lambda'} V_{\alpha(n\ell\lambda)(n'\ell'\lambda')}^{L\tau} \tilde{\mathfrak{G}}_{(\alpha n'\ell'\lambda')(A_0\lambda_0)}^{L\tau}. \end{aligned} \quad (56)$$

3. РЕЗУЛЬТАТЫ

Результаты данного раздела получены путем прямого численного решения системы трехмерных уравнений ФМ (24) с асимптотическими граничными условиями (27), в которых падающая и рассеянная волны даются формулами (54) и (55) соответственно. Для уменьшения сложности вычислений мы пользуемся тем, что потенциал V_3 является отталкивательным и соответствующий двухчастичный гамильтониан не имеет связанных состояний. Это позволяет включить этот потенциал в левые части уравнений (4), (24), для чего формально можно положить в (8) функцию $\chi_3 = 0$. Количество уравнений при этом уменьшается в полтора раза.

Для получения представленных в статье результатов мы вычисляли сечения рассеяния с точностью не хуже 1% и с достаточно высоким разрешением по энергии: $6 \cdot 10^{-6}$ при расчете сечений непосредственно над порогами возбужденных состояний атомов и $6 \cdot 10^{-5}$ в остальных случаях. Все величины приведены в атомных единицах, сечения даются в единицах πa_0^2 . Бинарные процессы рассеяния обозначаются начальным и конечным состояниями атома.

Согласно теории ГД [35], околопороговые осцилляции в сечениях возникают при наличии невещественных новых значений угловых моментов $\lambda_{\alpha(n\ell\lambda)}^{L\tau}$. Над порогом возбужденного связанного состояния атома (пары частиц) α с главным квантовым числом n , в случае единственного (среди значений с разными $\ell\lambda$) невещественного значения $\lambda_{\alpha(n\ell\lambda)}^{L\tau}$, теория предсказывает следующую зависимость от энергии p_n^2 сечений:

$$\sigma = A + B \cos(2 \operatorname{Im} \lambda_{\alpha(n\ell\lambda)}^{L\tau} \ln p_n + \phi). \quad (57)$$

Здесь константы A , B , ϕ , свои для каждой конкретной системы и сечения, можно считать независимыми от энергии p_n^2 при малых p_n . Простой расчет показывает, что в системе $e^- e^+ \bar{p}$ для первых нескольких каналов рассеяния с возбужденными состояниями $\bar{H}(2)$, $\text{Ps}(2)$ и $\bar{H}(3)$ и при небольших значениях полного орбитального момента L имеются одно или два невещественных значения момента.

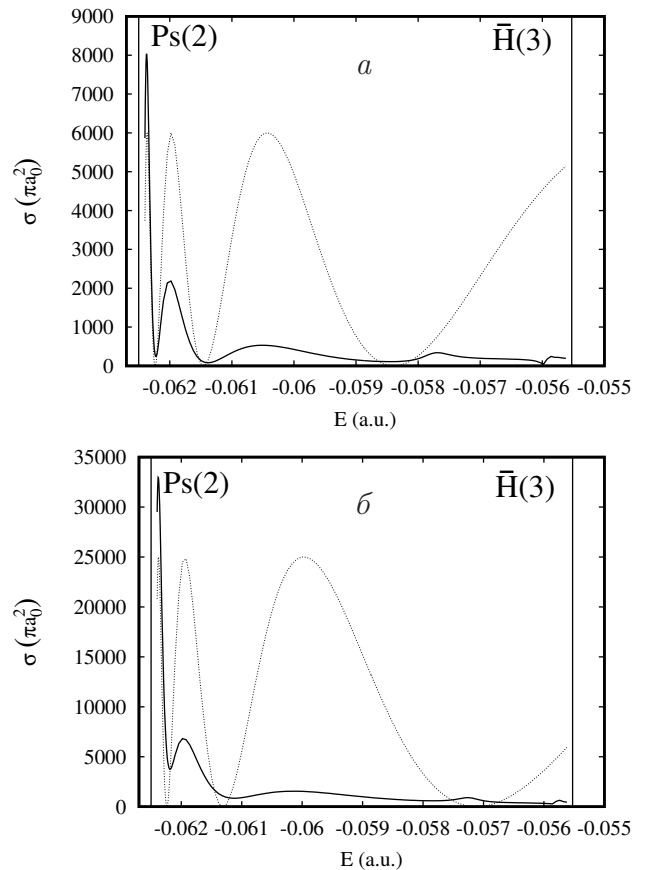


Рис. 2. Сечения упругого рассеяния $\text{Ps}(2s) \rightarrow \text{Ps}(2s)$, полный орбитальный момент $L = 1$ (а) и $L = 2$ (б). Пунктирные кривые — график зависимости (57)

На рис. 2 изображены сечения упругого рассеяния антипротона на позитронии в первом возбужденном состоянии $\text{Ps}(2s)$, рассчитанные над порогом $\text{Ps}(2)$, для значений полного орбитального момента $L = 1, 2$. Как и на представленном в нашей недавней работе [19] графике для случая $L = 0$, в сечениях прекрасно видны осцилляции ГД с расположением экстремумов, согласующимся с законом (57). Действительно, для наглядности на рис. 2 и 3 изображены также графики кривых (57) с эмпирически подобранными значениями констант A , B и фазы ϕ . Аналогичная картина наблюдается и в сечениях квазиупругих реакций типа реакции $\text{Ps}(2s) \rightarrow \text{Ps}(2p)$. С ростом значений L на одном и том же интервале энергий осцилляции сечений начинают сглаживаться. Действительно, мнимые части новых значений угловых моментов $\operatorname{Im} \lambda_{\alpha=\text{Ps}(n=2,\ell\lambda)}^{L\tau}$, которые задают частоту осцилляций в логарифмическом масштабе по энергии согласно закону (57), имеют тенденцию к убыванию с ростом L . Для значений $L = 0 - 4$ они

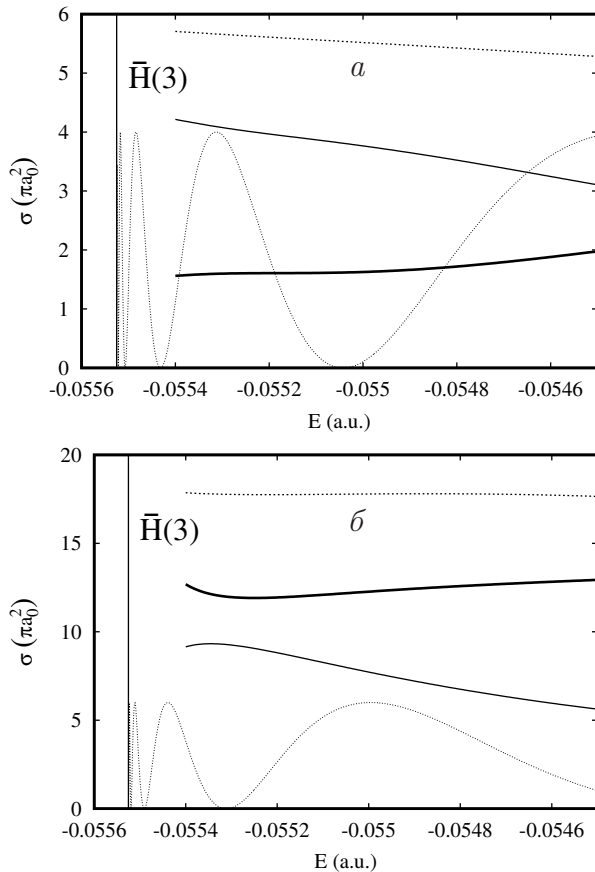


Рис. 3. Сечения образования антиводорода $Ps(2p) \rightarrow \bar{H}(3s)$ (сплошные кривые), $Ps(2p) \rightarrow \bar{H}(3p)$ (штриховые), $Ps(2p) \rightarrow \bar{H}(3d)$ (жирные сплошные), полный орбитальный момент $L = 1$ (а) и $L = 2$ (б). Пунктирные кривые — график зависимости (57)

равны соответственно: 4.77, 4.58, 4.15, 3.42 и 2.09, при $L \geq 5$ значения новых моментов становятся вещественными. Наличие осцилляций ГД в сечениях упругих и квазиупругих реакций $Ps(2) \rightarrow Ps(2)$ было ранее обнаружено при расчетах в работе [14]. По форме наши сечения вполне согласуются с сечениями этой работы, однако непосредственное численное сравнение затруднено используемым в [14] логарифмическим масштабом по обеим осям.

Обратимся теперь к сечениям реакций образования антиводорода над порогами его возбужденных состояний. В [19] мы привели графики сечений образования антиводорода над порогом первого возбужденного состояния $\bar{H}(2)$ для случая $L = 0$, которые показали, что осцилляции слабо проявляются в этом случае. Однако над порогом $\bar{H}(3)$ в сечениях реакций $Ps(2) \rightarrow \bar{H}(3)$ образования антиводорода во втором возбужденном состоянии при $L=0$ мы обнару-

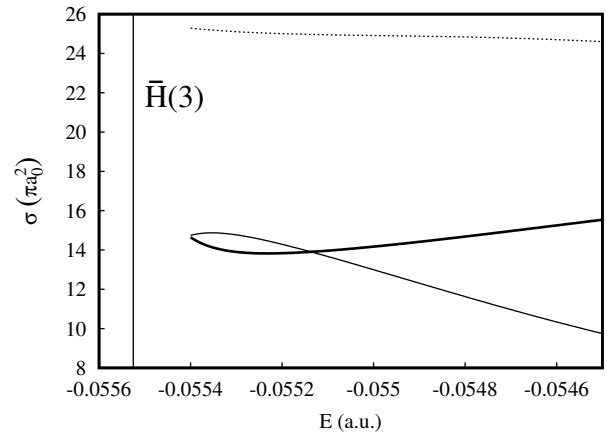


Рис. 4. Суммарные по $L = 0, 1, 2$ сечения образования антиводорода $Ps(2p) \rightarrow \bar{H}(3s)$ (тонкая сплошная кривая), $Ps(2p) \rightarrow \bar{H}(3p)$ (пунктирная), $Ps(2p) \rightarrow \bar{H}(3d)$ (жирная сплошная)

жили в [19] осцилляции ГД с большой амплитудой, что подтвердило возможность существования этого явления в сечениях реакций. Поэтому здесь мы исследуем именно сечения над порогом $\bar{H}(3)$. Как и в рассмотренном выше случае конфигурации $Ps(2)$, ненулевые мнимые части $\text{Im} \lambda_{\alpha=\bar{H}(n=3,\ell\lambda)}^{L\tau}$ возникают при $L \leq 4$, они равны соответственно 3.99 ($L = 0$), 3.83, 2.23 ($L = 1$), 3.46, 1.43 ($L = 2$), 2.81 ($L = 3$), 1.52 ($L = 4$). На рис. 3 приведены сечения реакций $Ps(2p) \rightarrow \bar{H}(3s(p, d))$ для значений $L = 1, 2$. Осцилляции в сечениях проявляются слабо. С учетом довольно существенного роста значений сечений по сравнению со случаем $L = 0$ это означает, что в полных сечениях рассеяния осцилляции будут сильно сглажены. Для иллюстрации на рис. 4 представлена сумма парциальных сечений с $L = 0 - 2$.

Подводя итог, следует отметить, что в прямых процессах типа $Ps \rightarrow Ps$ осцилляции сечений отчетливо наблюдаются, хотя с ростом L они сглаживаются, исчезая при больших L . В сечениях же образования антиводорода $Ps \rightarrow \bar{H}$ при $L > 0$ наблюдается тенденция к подавлению осцилляций, несмотря на то, что среди новых моментов в этих каналах по-прежнему имеются комплексные значения.

4. ЗАКЛЮЧЕНИЕ

В работе разработан и реализован формализм решения задачи бинарного рассеяния в системе трех частиц с кулоновским взаимодействием. Формализм базируется на трехчастичных уравнениях Фаддеева – Меркурьева в представлении полного орбиталь-

ного момента. Существенным и новым обстоятельством по сравнению с предыдущими формулировками является улучшенное асимптотическое представление для компонент волновой функции, которое в явном виде учитывает вклад дальнего дипольного взаимодействия. Наличие этого взаимодействия являлось главным вычислительным препятствием для получения надежных результатов для сечений рассеяния и реакций в близких окологороговых областях энергии, в которых предсказывались пороговые аномалии в виде осцилляций ГД. В нашей предыдущей работе [19] показано, что явный учет дипольного взаимодействия позволяет получить значения для сечений рассеяния и реакций в системе $e^-e^+\bar{p}$ при $L = 0$, на недостижимо высоком для других подходов уровне точности. В настоящей работе мы обобщили наш подход на случай $L > 0$ и явно учли дальнее дипольное взаимодействие в этом случае. Формализм данной работы позволил провести прецизионные расчеты рассеяния и реакций в системе $e^-e^+\bar{p}$ при $L > 0$ в окрестностях порогов возбужденных состояний с главными квантовыми числами $n = 2, 3$ атомов Ps и \bar{H} , которые технически были невозможны без учета дипольного взаимодействия в других подходах. В сечениях упругих и квазиупругих процессов обнаружены отчетливые надпороговые осцилляции ГД-типа при $L = 1, 2$, имеющие тенденцию сглаживаться с ростом L . Подробно исследованы сечения образования антиводорода в реакции $Ps(n = 2) + \bar{p} \rightarrow \bar{H}(n = 3) + e^-$ при $L = 1, 2$. В отличие от случая $L = 0$ [19] сечения образования антиводорода при $L > 0$ отчетливых осцилляций не обнаруживают. При этом в полных сечениях данной реакции вклад осцилляций парциального сечения с $L = 0$ оказывается существенно сглаженным.

Результаты данной работы распространяют область применимости разработанного формализма на случай ненулевых орбитальных моментов $L > 0$ и дают возможность проводить более широкие исследования рассеяния и реакций в системе $e^-e^+\bar{p}$ и других атомных системах с гарантированным уровнем точности.

Благодарности. Исследования проведены с использованием вычислительных ресурсов Ресурсного центра «Вычислительный центр СПбГУ» (<http://cc.spbu.ru>). Авторы выражают благодарность В. А. Рудневу и Е. А. Яревскому за плодотворные обсуждения результатов работы.

Финансирование. Работа поддержана Российским научным фондом (проект № 23-22-00109).

ПРИЛОЖЕНИЕ А. СВОЙСТВА БАЗИСНЫХ ФУНКЦИЙ $F_{MM'}^{L\tau}$

Функции $F_{MM'}^{L\tau}$ являются общими собственными функциями операторов квадрата полного орбитального момента \mathbf{L}^2 , его проекции $\mathbf{L}_z = -i\partial/\partial\phi_\alpha$ и оператора пространственной инверсии \mathbf{P} :

$$\begin{aligned} \mathbf{L}^2 F_{MM'}^{L\tau} &= L(L+1)F_{MM'}^{L\tau}, \\ \mathbf{L}_z F_{MM'}^{L\tau} &= -M F_{MM'}^{L\tau}, \\ \mathbf{P} F_{MM'}^{L\tau}(\phi_\alpha, \vartheta_\alpha, \varphi_\alpha) &= \\ &= F_{MM'}^{L\tau}(\phi_\alpha + \pi, \pi - \vartheta_\alpha, \pi - \varphi_\alpha) = \\ &= \tau(-1)^L F_{MM'}^{L\tau}(\phi_\alpha, \vartheta_\alpha, \varphi_\alpha). \end{aligned} \tag{58}$$

Последнее равенство выводится непосредственно из соотношения

$$\begin{aligned} D_{MM'}^L(\phi_\alpha + \pi, \pi - \vartheta_\alpha, \pi - \varphi_\alpha) &= \\ &= (-1)^{L+M'} D_{M,-M'}^L(\phi_\alpha, \vartheta_\alpha, \varphi_\alpha). \end{aligned}$$

Условия ортогональности

$$\begin{aligned} \int_0^{2\pi} d\phi_\alpha \int_0^{2\pi} d\varphi_\alpha \int_0^\pi d\vartheta_\alpha \sin \vartheta_\alpha \left(F_{M_1 M_1'}^{L_1 \tau_1}(\Omega_\alpha) \right)^* \times \\ \times F_{M_2 M_2'}^{L_2 \tau_2}(\Omega_\alpha) = \frac{8\pi^2}{2L_1 + 1} \delta_{L_1 L_2} \delta_{\tau_1 \tau_2} \delta_{M_1 M_2} \delta_{M_1' M_2'} \end{aligned} \tag{59}$$

несложно выводятся из аналогичных условий для D -функций Вигнера [29]. Поскольку D -функции дают матричное представление группы вращений $SO(3)$, из соотношения для преобразований вращением (16) непосредственно следует

$$D_{MM'}^L(\Omega_\beta) = \sum_{M''=-L}^L D_{MM''}^L(\Omega_\alpha) D_{M''M'}^L(0, w_{\beta\alpha}, 0). \tag{60}$$

Отсюда получаем связь между функциями $F_{MM'}^{L\tau}$ разных аргументов:

$$\begin{aligned} F_{MM'}^{L\tau}(\Omega_\beta) &= \sum_{M''=M_0}^L (-1)^{M'-M''} \frac{2}{\sqrt{2+2\delta_{M'0}}} \times \\ &\times F_{M'M''}^{L\tau}(0, w_{\beta\alpha}, 0) F_{MM''}^{L\tau}(\Omega_\alpha). \end{aligned} \tag{61}$$

Из свойств D -функций Вигнера

$$\begin{aligned} \mathbf{L}_\alpha^{(\pm)} D_{MM'}^L &= \pm \lambda^{L, \pm M'} D_{MM' \pm 1}^L, \\ \mathbf{L}_{z'} D_{MM'}^L &= -M' D_{MM'}^L, \end{aligned} \tag{62}$$

где $\lambda^{LM'}$ определена в (26), получаем свойства

$$\mathbf{L}_{z'} F_{MM'}^{L\tau} = -M' F_{MM'}^{L,-\tau}, \quad (63)$$

$$\begin{aligned} (\mathbf{L}_\alpha^{(+)} + \mathbf{L}_\alpha^{(-)}) F_{MM'}^{L\tau} &= -\lambda^{L,-M'} F_{M,M'-1}^{L\tau} \times \\ &\times \sqrt{1 + \delta_{M'1}} (1 - \delta_{M'0}) (1 - \delta_{M'1} \delta_{\tau,-1}) + \\ &+ \lambda^{L,M'} F_{M,M'+1}^{L\tau} \sqrt{1 + \delta_{M'0}} (1 - \delta_{M'0} \delta_{\tau,-1}), \end{aligned} \quad (64)$$

$$\begin{aligned} (\mathbf{L}_\alpha^{(+)} - \mathbf{L}_\alpha^{(-)}) \mathbf{L}_{z'} F_{MM'}^{L\tau} &= -M' \lambda^{L,-M'} F_{M,M'-1}^{L\tau} \times \\ &\times \sqrt{1 + \delta_{M'1}} (1 - \delta_{M'0}) (1 - \delta_{M'1} \delta_{\tau,-1}) - \\ &- M' \lambda^{L,M'} F_{M,M'+1}^{L\tau} \sqrt{1 + \delta_{M'0}} (1 - \delta_{M'0} \delta_{\tau,-1}), \end{aligned} \quad (65)$$

полезные при подстановке разложения (22) в уравнения ФМ (17).

ПРИЛОЖЕНИЕ В.

ПАРЦИАЛЬНЫЙ АНАЛИЗ ВЫРАЖЕНИЙ ДЛЯ ПАДАЮЩЕЙ И РАССЕЯННОЙ ВОЛН

Согласно определению (23) парциальная компонента падающей волны дается выражением

$$\begin{aligned} I_{MM'}^{(\mathbb{A}_0)L\tau}(X_\alpha) &= \frac{1}{\sqrt{2 + 2\delta_{M'0}}} \times \\ &\times \left(I_{MM'}^{(\mathbb{A}_0)L}(X_\alpha) + \tau(-1)^{M'} I_{M,-M'}^{(\mathbb{A}_0)L}(X_\alpha) \right), \end{aligned} \quad (66)$$

где, в свою очередь,

$$\begin{aligned} I_{MM'}^{(\mathbb{A}_0)L}(X_\alpha) &= \frac{x_\alpha y_\alpha}{(1 - z_\alpha^2)^{\frac{M'}{2}}} \frac{2L + 1}{8\pi^2} \times \\ &\times \int d\Omega_\alpha (D_{MM'}^L(\Omega_\alpha))^* I^{(\mathbb{A}_0)}(\mathbf{x}_\alpha, \mathbf{y}_\alpha). \end{aligned} \quad (67)$$

Поскольку углы Эйлера $\phi_\alpha, \vartheta_\alpha$ являются одновременно углами сферических координат вектора $\hat{\mathbf{x}}_\alpha$ в лабораторной системе координат, а вектор $\hat{\mathbf{y}}_\alpha$ преобразуется в $\hat{\mathbf{x}}_\alpha$ вращением вокруг оси, перпендикулярной плоскости частиц, на угол θ_α , имеем

$$\begin{aligned} Y_{\ell m}(\hat{\mathbf{x}}_\alpha) &= \sqrt{\frac{2\ell + 1}{4\pi}} (D_{m0}^\ell(\Omega_\alpha))^*, \\ Y_{\ell m}(\hat{\mathbf{y}}_\alpha) &= \sum_{m'=-\ell}^{\ell} (D_{mm'}^\ell(\Omega_\alpha))^* Y_{\ell m'}(\theta_\alpha, 0). \end{aligned} \quad (68)$$

При помощи (68) можно выразить падающую (11) и рассеянную (10) волны в координатах $(X_\alpha, \Omega_\alpha)$. Так, используя парциальное разложение входящей в (11)

двухчастичной кулоновской волновой функции [26], переписываем (11) в виде

$$\begin{aligned} I^{(\mathbb{A}_0)}(\mathbf{x}_\alpha, \mathbf{y}_\alpha) &= \frac{4\pi}{p_{n_0} x_\alpha y_\alpha} \phi_{n_0 \ell_0}(x_\alpha) Y_{\ell_0 m_0}(\hat{\mathbf{x}}_\alpha) \times \\ &\times \sum_{\lambda=0}^{+\infty} \sum_{m_\lambda=-\lambda}^{\lambda} i^\lambda e^{i\sigma_\lambda(\eta_{n_0})} F_\lambda(\eta_{n_0}, p_{n_0} y_\alpha) \times \\ &\times Y_{\lambda m_\lambda}^*(\hat{\mathbf{p}}_{n_0}) Y_{\lambda m_\lambda}(\hat{\mathbf{y}}_\alpha), \end{aligned} \quad (69)$$

где кулоновский фазовый сдвиг

$$\sigma_\lambda(\eta_{n_0}) = \arg \Gamma(1 + \lambda + i\eta_{n_0}),$$

F_λ — регулярная кулоновская функция [26]. Подставляя (69) в (67) и используя тождества (68), получим

$$\begin{aligned} I_{MM'}^{(\mathbb{A}_0)L}(X_\alpha) &= \frac{\phi_{n_0 \ell_0}(x_\alpha)}{2\pi p_{n_0}} \sqrt{\frac{2\ell_0 + 1}{4\pi}} \sum_{\lambda=0}^{+\infty} \sum_{m_\lambda=-\lambda}^{\lambda} \sum_{m'=-\ell}^{\ell} \\ &i^\lambda e^{i\sigma_\lambda(\eta_{n_0})} F_\lambda(\eta_{n_0}, p_{n_0} y_\alpha) Y_{\lambda m_\lambda}^*(\hat{\mathbf{p}}_{n_0}) \frac{Y_{\lambda m_\lambda}(\theta_\alpha, 0)}{(1 - z_\alpha^2)^{\frac{M'}{2}}} \times \\ &\times \int d\Omega_\alpha (D_{MM'}^L(\Omega_\alpha))^* (D_{m_\lambda m'}^\lambda(\Omega_\alpha))^* (D_{m_0 0}^{\ell_0}(\Omega_\alpha))^*. \end{aligned} \quad (70)$$

Интеграл от произведения трех D -функций выражается через коэффициенты Клебша – Гордана [29]:

$$\begin{aligned} \int d\Omega_\alpha (D_{mm'}^\ell(\Omega_\alpha))^* D_{m_2 m_2'}^{\ell_2}(\Omega_\alpha) D_{m_1 m_1'}^{\ell_1}(\Omega_\alpha) &= \\ &= \frac{8\pi^2}{2\ell + 1} C_{\ell_1, m_1', \ell_2, m_2'}^{\ell, m'} C_{\ell_1, m_1, \ell_2, m_2}^{\ell, m}. \end{aligned} \quad (71)$$

Комбинируя последнее тождество с соотношением $(D_{mm'}^L)^* = (-1)^{m'-m} D_{-m, -m'}^L$ и подставляя в (70), после несложных преобразований приходим к выражению

$$\begin{aligned} I_{MM'}^{(\mathbb{A}_0)L}(X_\alpha) &= \frac{(-1)^M \sqrt{4\pi(2\ell_0 + 1)}}{p_{n_0} \sqrt{2 + 2\delta_{M'0}}} \phi_{n_0 \ell_0}(x_\alpha) \times \\ &\times \sum_{\lambda=|L-\ell_0|}^{L+\ell_0} i^\lambda e^{i\sigma_\lambda(\eta_{n_0})} F_\lambda(\eta_{n_0}, p_{n_0} y_\alpha) Y_{\lambda, -M-m_0}^*(\hat{\mathbf{p}}_{n_0}) \times \\ &\times \frac{Y_{\lambda M'}(\theta_\alpha, 0)}{(1 - z_\alpha^2)^{\frac{M'}{2}}} C_{\lambda, M+m_0, \ell_0, -m_0}^{L, M} C_{\lambda, M', \ell_0, 0}^{L, M'} \times \\ &\times (1 + \tau(-1)^{\lambda+\ell_0-L}), \end{aligned} \quad (72)$$

где пределы суммирования по λ происходят от условий треугольника для коэффициентов Клебша – Гордана. Если теперь лабораторную систему координат выбрать так, что вектор \mathbf{p}_{A_0} в ней

расположен вдоль оси z , имеем дополнительно $Y_{\lambda, -M-m_0}^*(\hat{\mathbf{p}}_{A_0}) = \sqrt{(2\lambda+1)/(4\pi)}\delta_{-M, m_0}$ и (72) упрощается до (28). Для вычисления парциальной компоненты рассеянной волны

$$O_{\alpha MM'}^{(\mathbb{A}_0)L\tau}(X_\alpha) = \frac{x_\alpha y_\alpha}{(1-z_\alpha^2)^{\frac{M'}{2}}} \frac{2L+1}{8\pi^2} \times \int d\Omega_\alpha (F_{MM'}^{L\tau}(\Omega_\alpha))^* O_\alpha^{(\mathbb{A}_0)}(\mathbf{x}_\alpha, \mathbf{y}_\alpha) \quad (73)$$

подставляем парциальное разложение амплитуды рассеяния (29) в (10) и выполняем преобразования, совершенно аналогичные выполненным выше для случая падающей волны. Тогда приходим к (30).

ПРИЛОЖЕНИЕ С. СЕЧЕНИЕ σ_{AA_0}

Для получения выражения для сечения рассеяния σ_{AA_0} определим вначале парциальные компоненты полной амплитуды:

$$\begin{aligned} \mathcal{A}_{(A\lambda)(\mathbb{A}_0)}^{LM\tau} &\equiv \frac{1+\tau(-1)^{\lambda+\ell-L}}{2} \times \\ &\times \sum_{m=-\ell}^{\ell} C_{\lambda, m+M, \ell, -m}^{L, M} \mathcal{A}_{(\mathbb{A}, \lambda, -M-m)(\mathbb{A}_0)} = \\ &= \tilde{\mathcal{A}}_{(A\lambda)(\mathbb{A}_0)}^{LM\tau} + \delta_{AA_0} \delta_{M, -m_0} \frac{1+\tau(-1)^{\lambda+\ell_0-L}}{2} \times \\ &\times \frac{\sqrt{\pi(2\lambda+1)}}{ip_{n_0}} \left(e^{i2\sigma_\lambda(\eta_{n_0})} - 1 \right) C_{\lambda, 0, \ell_0, M}^{L, M} \quad (74) \end{aligned}$$

Свойство (32) по-прежнему выполняется для полной амплитуды, т. е.

$$\mathcal{A}_{(A\lambda)(\mathbb{A}_0)}^{LM\tau} = \delta_{M, -m_0} \mathcal{A}_{(A\lambda)(\mathbb{A}_0)}^{L\tau}. \quad (75)$$

Умножая парциальное разложение полной амплитуды рассеяния на $Y_{\ell m}(\hat{\mathbf{x}}_\alpha)$, получим соотношение

$$\begin{aligned} Y_{\ell m}(\hat{\mathbf{x}}_\alpha) \mathcal{A}_{(\mathbb{A})(\mathbb{A}_0)}(\hat{\mathbf{y}}_\alpha) &= \\ &= \sum_{\lambda=0}^{+\infty} \sum_{m_\lambda=-\lambda}^{\lambda} \mathcal{A}_{(\mathbb{A}\lambda m_\lambda)(\mathbb{A}_0)} Y_{\ell m}(\hat{\mathbf{x}}_\alpha) Y_{\lambda m_\lambda}(\hat{\mathbf{y}}_\alpha) = \\ &= \sum_{L=0}^{+\infty} \sum_{\lambda=|L-\ell|}^{L+\ell} \sum_{m_\lambda=-\lambda}^{\lambda} \mathcal{A}_{(\mathbb{A}\lambda m_\lambda)(\mathbb{A}_0)} \times \\ &\times C_{\ell, m, \lambda, m_\lambda}^{L, m+m_\lambda} \mathcal{Y}_{\ell\lambda}^{L+m+\lambda}(\hat{\mathbf{x}}, \hat{\mathbf{y}}), \quad (76) \end{aligned}$$

где $\mathcal{Y}_{\ell\lambda}^{Lm}$ — биполярные сферические гармоники, определенные в (43). Суммирование последнего тождества по m от $-\ell$ до ℓ приводит к равенству

$$\begin{aligned} \sum_{m=-\ell}^{\ell} Y_{\ell m}(\hat{\mathbf{x}}_\alpha) \mathcal{A}_{(\mathbb{A})(\mathbb{A}_0)}(\hat{\mathbf{y}}_\alpha) &= \\ &= \sum_{L=0}^{+\infty} \sum_{\lambda=|L-\ell|}^{L+\ell} \sum_{M=-\lambda-\ell}^{\lambda+\ell} \sum_{\tau=\pm 1} \mathcal{A}_{(A\lambda)(\mathbb{A}_0)}^{LM\tau} \mathcal{Y}_{\ell\lambda}^{L, -M}(\hat{\mathbf{x}}, \hat{\mathbf{y}}), \end{aligned}$$

в котором, согласно свойству (75), сумма по M содержит лишь одно ненулевое слагаемое с $M = -m_0$. Теперь, интегрируя квадраты абсолютных величин левой и правой частей последнего равенства по переменным $\hat{\mathbf{x}}_\alpha, \hat{\mathbf{y}}_\alpha$ и пользуясь ортогональностью биполярных сферических гармоник по всем индексам, приходим к (36).

ЛИТЕРАТУРА

1. V. A. Gradusov, V. A. Roudnev, E. A. Yarevsky et al., *J. Phys. B: Atom. Mol. Opt. Phys.* **52**, 055202 (2019).
2. P. G. Burke, *R-Matrix Theory of Atomic Collisions*, Springer, Heidelberg, Dordrecht, London, New York (2011).
3. С. П. Меркурьев, Л. Д. Фаддеев, *Квантовая теория рассеяния для систем нескольких частиц*, Наука, Москва (1985).
4. M. Charlton and J. W. Humberston, *Positron Physics*, Cambridge Univ. Press, Cambridge (2001).
5. S. D. Bass, S. Mariuzzi, P. Moskal, and E. Stepień, *Rev. Mod. Phys.* **95**, 021002 (2023).
6. G. Testera et al., *Hyp. Int.* **233**, 13 (2015).
7. P. Pérez et al., *Hyp. Int.* **233**, 21 (2015).
8. J. P. Merrison et al., *Phys. Rev. Lett.* **78**, 2728 (1997).
9. K. Ratnavelu, M. J. Brunger, and S. J. Buckman, *J. Phys. Chem. Ref. Data* **48**, 023102 (2019).
10. P. Comini, *Study of the Antihydrogen Atom and Ion Formation in the Collisions Antiproton-Positronium*. Theses, Université Pierre et Marie Curie — Paris VI (2014).
11. A. S. Kadyrov, I. Bray, M. Charlton, and I. I. Fabrikant, *Nat. Commun.* **8**, 1544 (2017).
12. D. Krasnicky, G. Testera, and N. Zurlo, *J. Phys. B: Atom. Mol. Opt. Phys.* **52**, 115202 (2019).

13. M. Charlton, H. B. Ambalampitiya, I. I. Fabrikant, I. Kalinkin, D. V. Fursa, A. S. Kadyrov, and I. Bray, *Phys. Rev. A* **107**, 012814 (2023).
14. I. I. Fabrikant, A. W. Bray, A. S. Kadyrov et al., *Phys. Rev. A* **94**, 012701 (2016).
15. М. Гайлитис, Р. Дамбург, *ЖЭТФ* **44**, 1644 (1963).
16. M. Gailitis and R. Damburg, *Proc. Phys. Soc.* **82**, 192 (1963).
17. C.-Y. Hu, D. Caballero, and Z. Papp, *Phys. Rev. Lett.* **88**, 063401 (2002).
18. M. Valdes, M. Dufour, R. Lazauskas et al., *Phys. Rev. A* **97**, 012709 (2018).
19. В. А. Градусов, С. Л. Яковлев, *Письма в ЖЭТФ* **119**, 151 (2024).
20. S. P. Merkuriev, *Ann. Phys.* **130**, 395 (1980).
21. A. A. Kvitsinsky, J. Carbonell, and C. Gignoux, *Phys. Rev. A* **46**, 1310 (1992).
22. С. Л. Яковлев, Э. Папш, *ТМФ* **163**, 314 (2010).
23. V. A. Gradusov, V. A. Roudnev, and S. L. Yakovlev, *Atoms* **4**, 9 (2016).
24. Z. Papp, C.-Y. Hu, Z. T. Hlousek et al., *Phys. Rev. A* **63**, 062721 (2001).
25. NIST Digital Library of Mathematical Functions, <http://dlmf.nist.gov/> (2019).
26. А. Мессиа, *Квантовая механика*, Наука, Москва (1978).
27. V. V. Kostykin, A. A. Kvitsinsky, and S. P. Merkuriev, *Few Body Syst.* **6**, 97 (1989).
28. Д. А. Варшалович, В. К. Херсонский, Е. В. Орленко и др., *Квантовая теория углового момента и ее приложения*, т. 1, Физматлит, Москва (2017).
29. Л. Биденхарн, Дж. Лаук, *Угловой момент в квантовой физике*, т. 1, Мир, Москва (1984).
30. V. A. Gradusov, V. A. Roudnev, E. A. Yarevsky et al., *Commun. Comput. Phys.* **30**, 255 (2021).
31. A. Scrinzi, *J. Phys. B: Atom. Mol. Opt. Phys.* **29**, 6055 (1996).
32. В. А. Градусов, С. Л. Яковлев, *ТМФ* **221**, 176 (2024).
33. M. Gailitis, *J. Phys. B: Atom. Mol. Phys.* **9**, 843 (1976).
34. C.-Y. Hu, *J. Phys. B: Atom. Mol. Opt. Phys.* **32**, 3077 (1999).
35. M. Gailitis, *J. Phys. B* **15**, 3423 (1982).